



核磁共振 (NMR) 波谱技术 在高分子研究中的应用

刘子琦

北京大学化学与分子工程学院

内容大纲

I. 绪论

II. 基本原理

III. 一维NMR在高分子研究中的应用

IV. 二维NMR在高分子研究中的应用

V. 固体NMR在高分子研究中的应用

VI. 结语

I. 終論

绪论

1. 简介

核磁共振（nuclear magnetic resonance, NMR）是近几十年发展起来的分析技术，它与元素分析、紫外光谱、红外光谱、质谱等方法结合，已成为化合物分析的有力工具。目前核磁共振已经深入到化学学科的各个领域，包括有机化学、生物化学、药物化学、配位化学、无机化学、高分子化学、环境化学等各个化学分支学科，极大地推动了人们对于物质世界的认识。

核磁共振技术的原理，简而言之，就是对于处在磁场中的原子核，用一定频率的射频波作用使之发生核自旋能级跃迁，从而产生吸收信号。从吸收频率和强度等数据当中，我们可以获得大量的化合物结构相关信息。NMR测定过程不破坏样品，这也是其相对于XRD和电镜等结构分析方法的优势所在。



2. 发展背景

核磁共振现象是美国斯坦福大学的F. Bloch和哈佛大学的E. M. Purcell于1945年同时发现的，为此，他们荣获了1952年的诺贝尔物理学奖。此后几十年，NMR技术发展很快，理论上不断完善，仪器和方法不断创新，尤其是高强超导磁场的应用，大大提高了仪器的灵敏度和分辨率。脉冲傅里叶变换技术的应用，使一些灵敏度小的原子核，如¹³C、¹⁵N等的NMR信号能够被测定。随着计算机技术的应用，多脉冲激发方法的采用及由此产生的二维谱、多维谱等新技术，使许多复杂化合物的结构解析迎刃而解。



Edward M. Purcell
1952, Physics



Felix Bloch
1952, Physics

II. 基本原理

基本原理

一、原子核的自旋和磁矩

若原子核存在自旋，即自旋量子数 $I \neq 0$ ，则其自旋角动量P为：

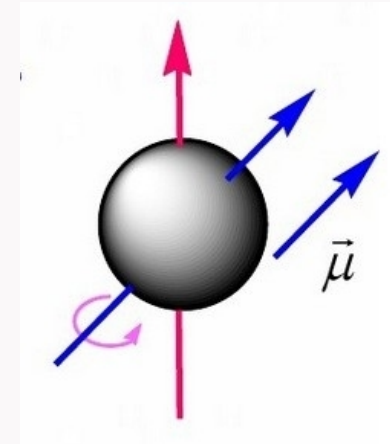
$$P = \frac{h}{2\pi} \sqrt{I(I+1)}$$

- 式中h为Planck常数，I为自旋量子数

原子核的磁矩 μ 与核自旋动量P呈正比：

$$\mu = \gamma P$$

- γ 为磁旋比，是原子核的特征常数



原子核是否能检测到NMR信号，与其自旋量子数**I**有关

质量数	原子序数	I	NMR信号	电荷分布
偶数	偶数	0	无	均匀
偶数	奇数	1, 2, 3, ...	有	不均匀
奇数	奇数或偶数	1/2, 3/2, 5/2, ...	有 有	均匀 不均匀

几种情况的讨论

- 所有质子数和中子数均为偶数的原子核， $I=0$ ，没有自旋现象，没有NMR信号

例如： $^{12}_6C$, $^{16}_8O$, $^{32}_{16}S$

- 自旋量子数 $I \geq 1$ 的原子核，其核电荷分布不均匀，NMR吸收可能会产生复杂的情况

例如： $I=1$: 2H , ^{14}N

$I=3/2$: ^{11}B , ^{35}Cl , ^{79}Br

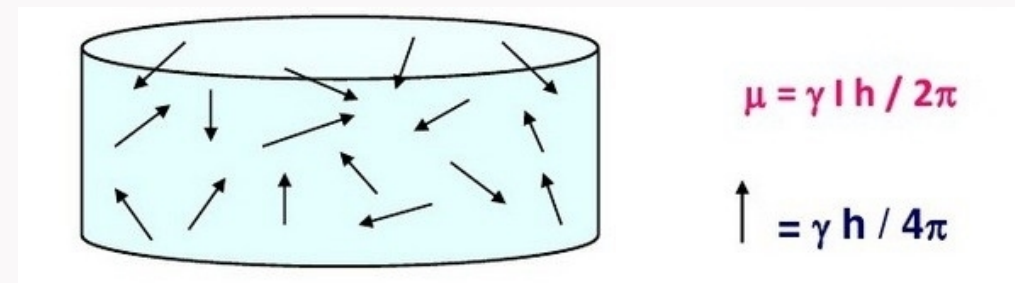
- 自旋量子数 $I=1/2$ 的原子核，NMR信号较简单，适合于**NMR分析**

例如： 1H , ^{13}C , ^{19}F , ^{31}P

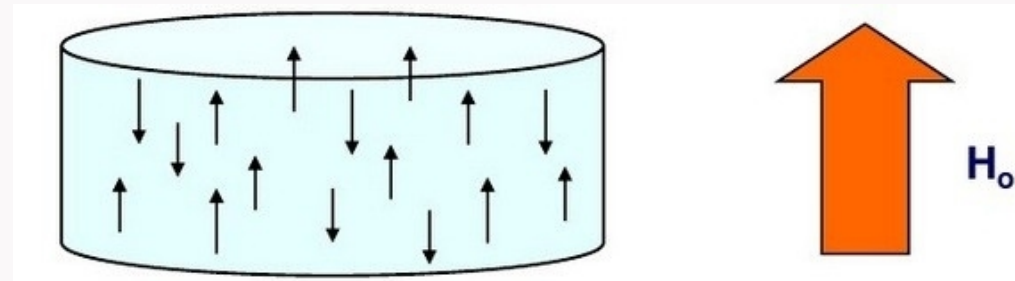
二、核磁共振现象

1. 磁场的作用（对于I=1/2的核）

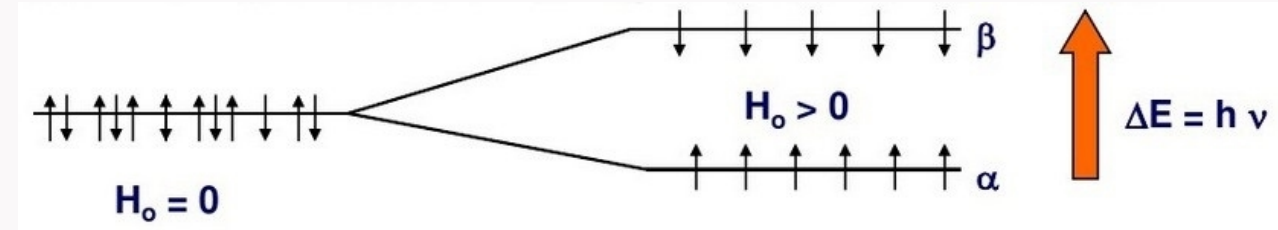
基态下核自旋是无序的，它们的能态是简并的：



当外加一个强磁场 H_0 时，核磁矩的取向会与外磁场平行或反平行：



外加磁场 H_0 造成了平行和反平行的核之间会有能量差，即能级分裂：



能级的差值与磁旋比 γ ，外磁场 H_0 有关：

$$\Delta E = \frac{\gamma h H_0}{2\pi}$$

此时对体系施以能量 $h\nu=\Delta E$ 的射频波时，即可产生共振

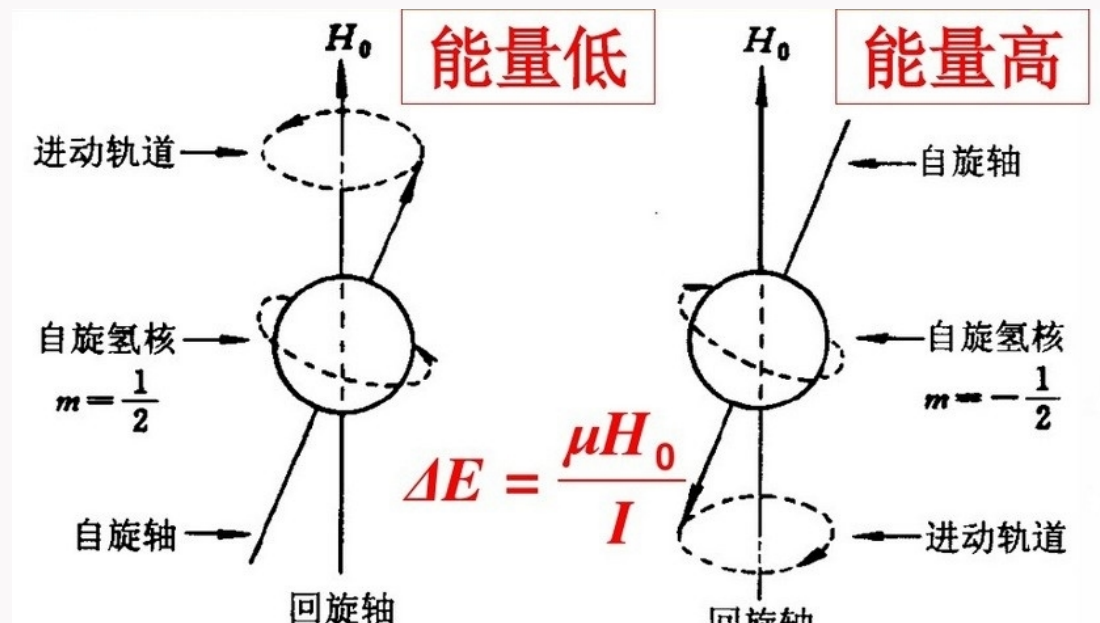
2. 经典力学解释

- 原子核除了自旋外，还要附加一个以外磁场方向为轴线的回旋，即Larmor进动。
- 当外加强磁场时，核的取向变成平行和反平行于外磁场两种，一种能量低，一种能量高。
- 对于¹H核，能级差为：

$$\Delta E = 2\mu H_0$$

共振条件：

$$\nu_0 = \gamma H_0 / (2\pi)$$



¹H 自旋核在外磁场中的两种取向示意图

三、核的自旋弛豫

弛豫 (relaxation) ——高能态的核以非辐射的方式释放能量回到低能态的过程

自旋-自旋弛豫时间 T_2 的测量方法——自旋回波法

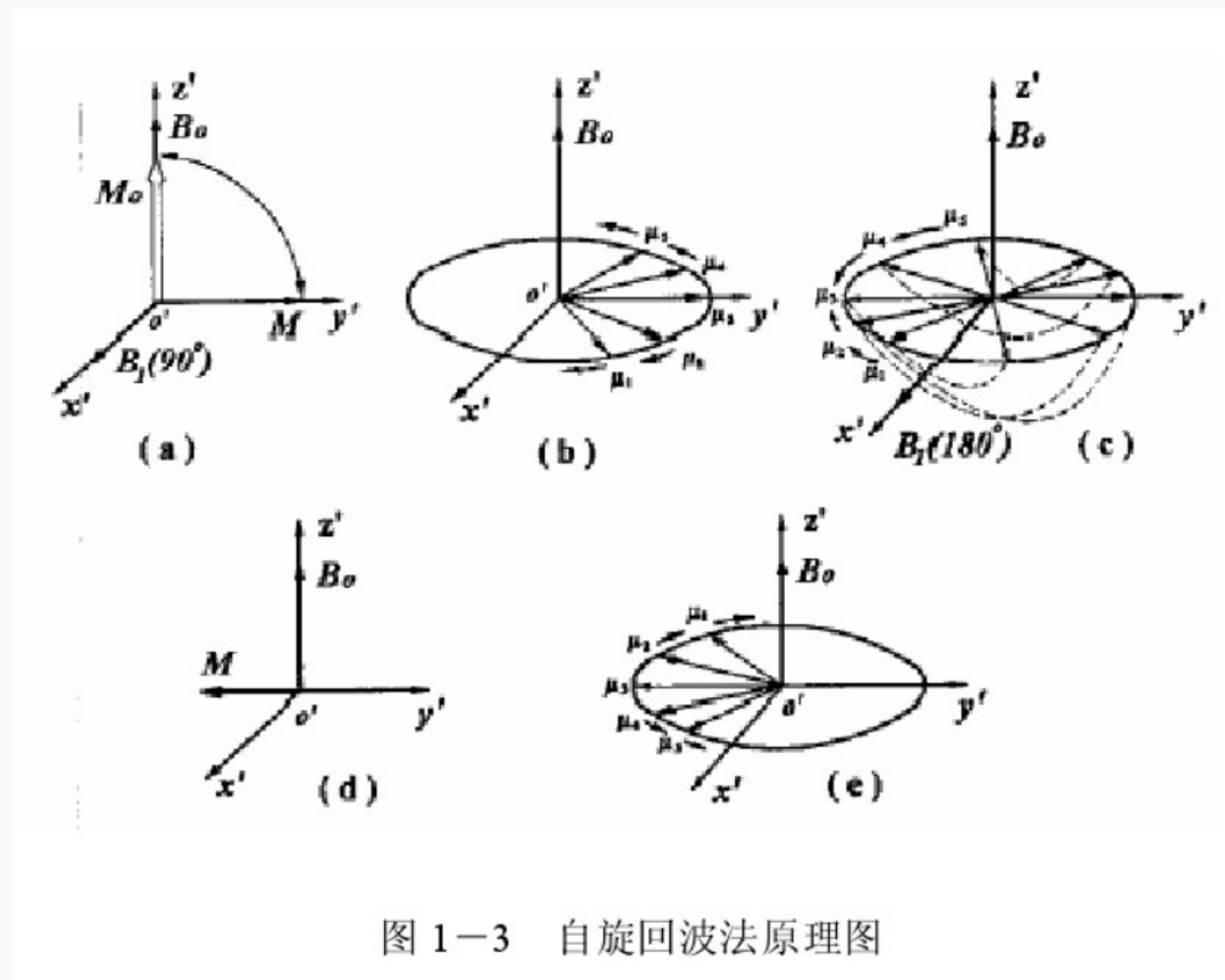


图 1-3 自旋回波法原理图

不同能级上分布的核数目可由Boltzmann能量分布计算：

$$\frac{N_i}{N_j} = \exp\left(-\frac{E_i - E_j}{kT}\right) = \exp\left(-\frac{\Delta E}{kT}\right) = \exp\left(-\frac{h\nu}{kT}\right)$$

$$\frac{N_i}{N_j} = \exp\left(\frac{6.626 \times 10^{-34} \times 100.00 \times 10^6}{1.38066 \times 10^{-23} \times 298} \cdot \frac{\text{J} \cdot \text{s} \cdot \text{s}^{-1}}{\text{J} \cdot \text{K}^{-1} \cdot \text{K}}\right) = 0.999984$$

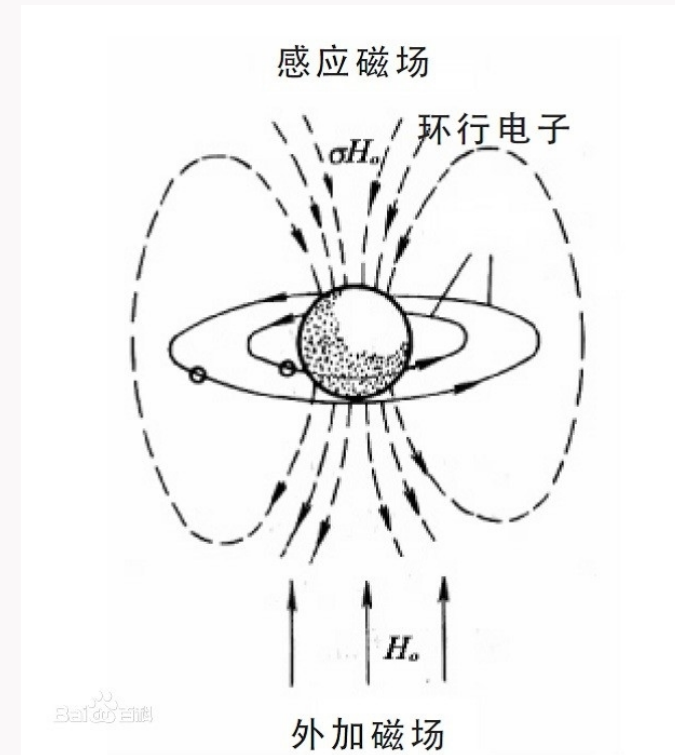
提高外磁场强度和降低工作温度可使低能态的核数相应增加，从而提高NMR信号的灵敏度。

四、化学位移

1. 化学位移的产生——电子屏蔽效应

事实上，每个原子核都被不断运动着的电子云所包围。在外磁场的作用下，电子运动形成微电流并产生对抗外磁场的感生磁场。感生磁场与外磁场方向相反，强度与磁场强度成正比。这种对抗外磁场的作用被称为屏蔽效应。

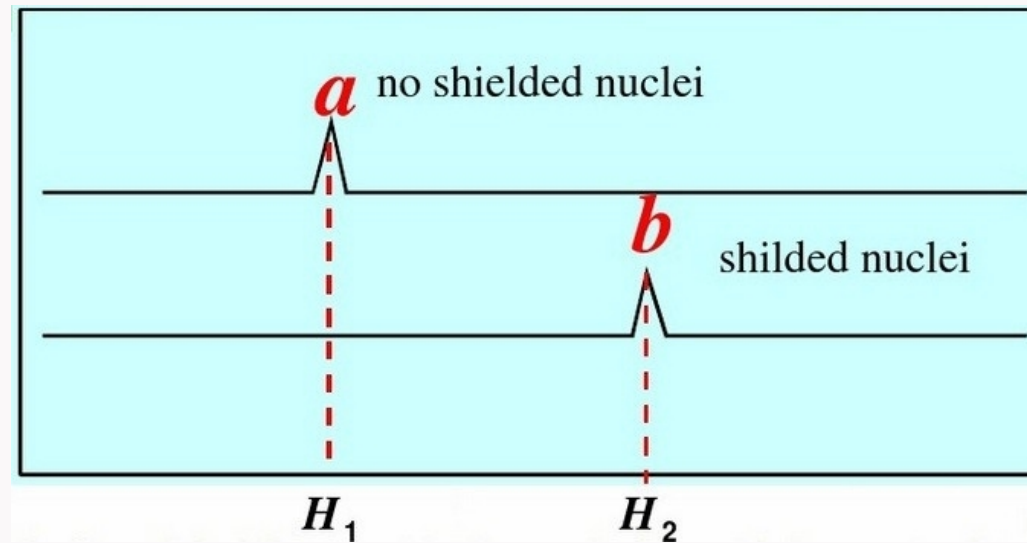
由于屏蔽效应，使原子核实际受到的磁场作用减小，为了使氢核发生共振，必须增加外磁场的强度以抵消电子云的屏蔽作用。这种由屏蔽效应引起的共振时磁场强度的移动现象称为化学位移。



核外电子对核的屏蔽作用用屏蔽常数 σ 表示

$$H = H_0(1 - \sigma)$$

屏蔽作用的大小与核外电子云密切相关，电子云密度越大，屏蔽作用也越大，共振时所需的外加磁场强度也越强。而电子云密度又和核所在所处的化学环境密切相关，与相邻的基团是斥电子还是吸电子等因素有关。





化学位移的绝对值测定比较困难，因此通常用相对值来表示化学位移，即以某一标准物质（如四甲基硅烷，TMS）的共振峰为原点，令其化学位移为0。

化学位移公式为：

$$\delta(\text{ppm}) = (\nu_{\text{sample}} - \nu_{\text{TMS}}) \times 10^6 / \nu_{\text{TMS}}$$

选用**TMS**的原因：(1) 只有一个尖峰；(2) 电子云密度非常密，共振时需要加的外磁场强度最强，不会和其他化合物重叠；(3) 化学惰性；(4) 易溶于有机溶剂，沸点低。

2. 影响化学位移的因素

说明

诱导效应

相连的元素电负性越强，吸电子作用越强，屏蔽作用越弱，化学位移越大

共轭效应

吸电子共轭和给电子共轭分别对应化学位移增大、减小

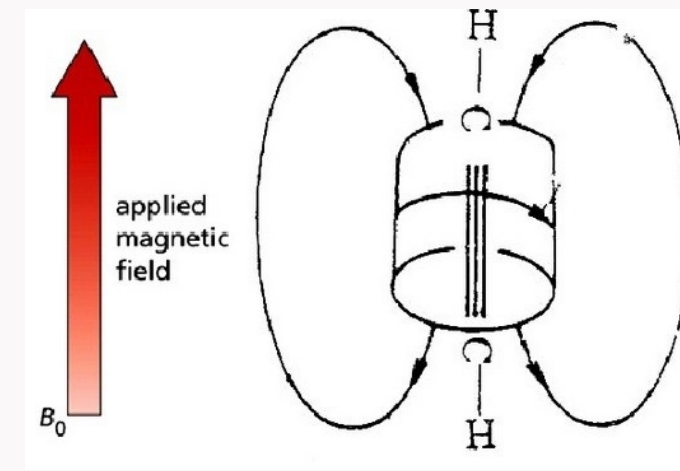
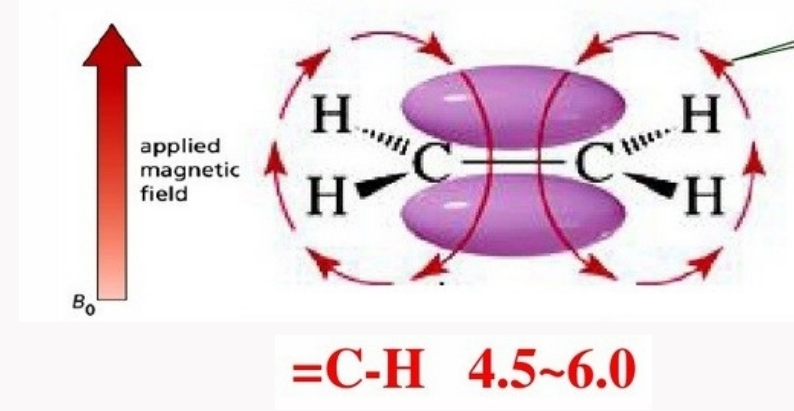
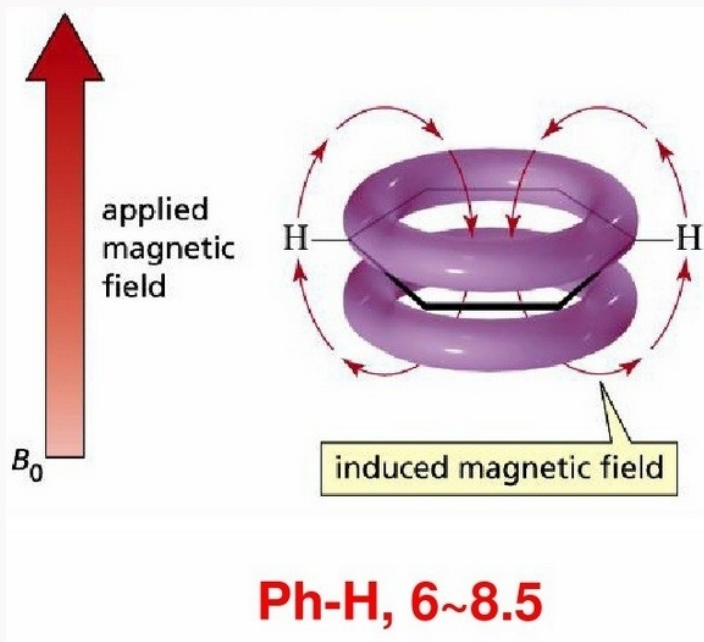
磁各向异性

化学键（尤其是 π 键）产生的感应磁场的强度和方向在化学键周围具有各向异性

氢键

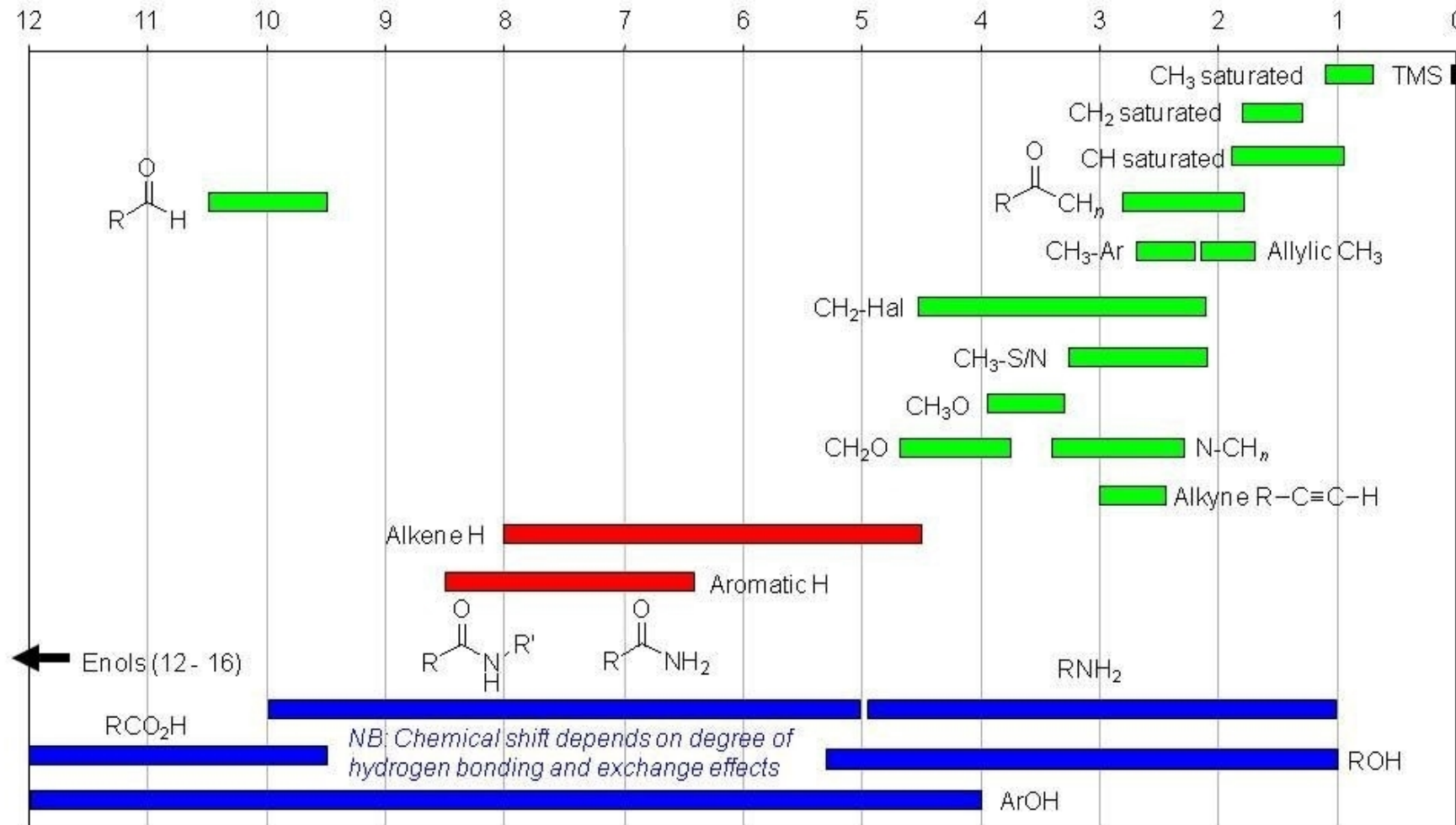
氢键的形成削弱了对氢键质子的屏蔽

磁各向异性

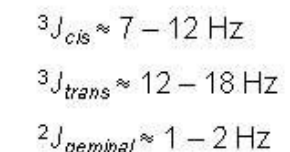
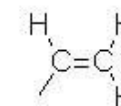
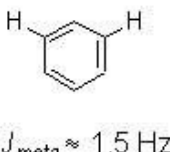
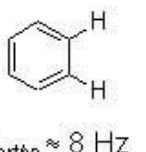
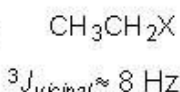


氢谱化学位移

¹H NMR Chemical Shifts



Some typical coupling constants:



碳谱化学位移

TABLE 13.3 Chemical Shifts of Representative Carbons

Type of carbon	Chemical shift (δ) ppm*	Type of carbon	Chemical shift (δ) ppm*		
Hydrocarbons			Functionally substituted carbons		
RCH_3	0–35	RCH_2Br	20–40		
R_2CH_2	15–40	RCH_2Cl	25–50		
R_3CH	25–50	RCH_2NH_2	35–50		
R_4C	30–40	RCH_2OH and RCH_2OR	50–65		
$\text{RC}\equiv\text{CR}$	65–90	$\text{RC}\equiv\text{N}$	110–125		
$\text{R}_2\text{C}=\text{CR}_2$	100–150	$\begin{matrix} \text{O} \\ \\ \text{RCOH} \end{matrix}$ and $\begin{matrix} \text{O} \\ \\ \text{RCOR} \end{matrix}$	160–185		
	110–175	$\begin{matrix} \text{O} \\ \\ \text{RCH} \end{matrix}$ and $\begin{matrix} \text{O} \\ \\ \text{RCR} \end{matrix}$	190–220		

*Approximate values relative to tetramethylsilane.

五、检测的基本参数

峰的强度

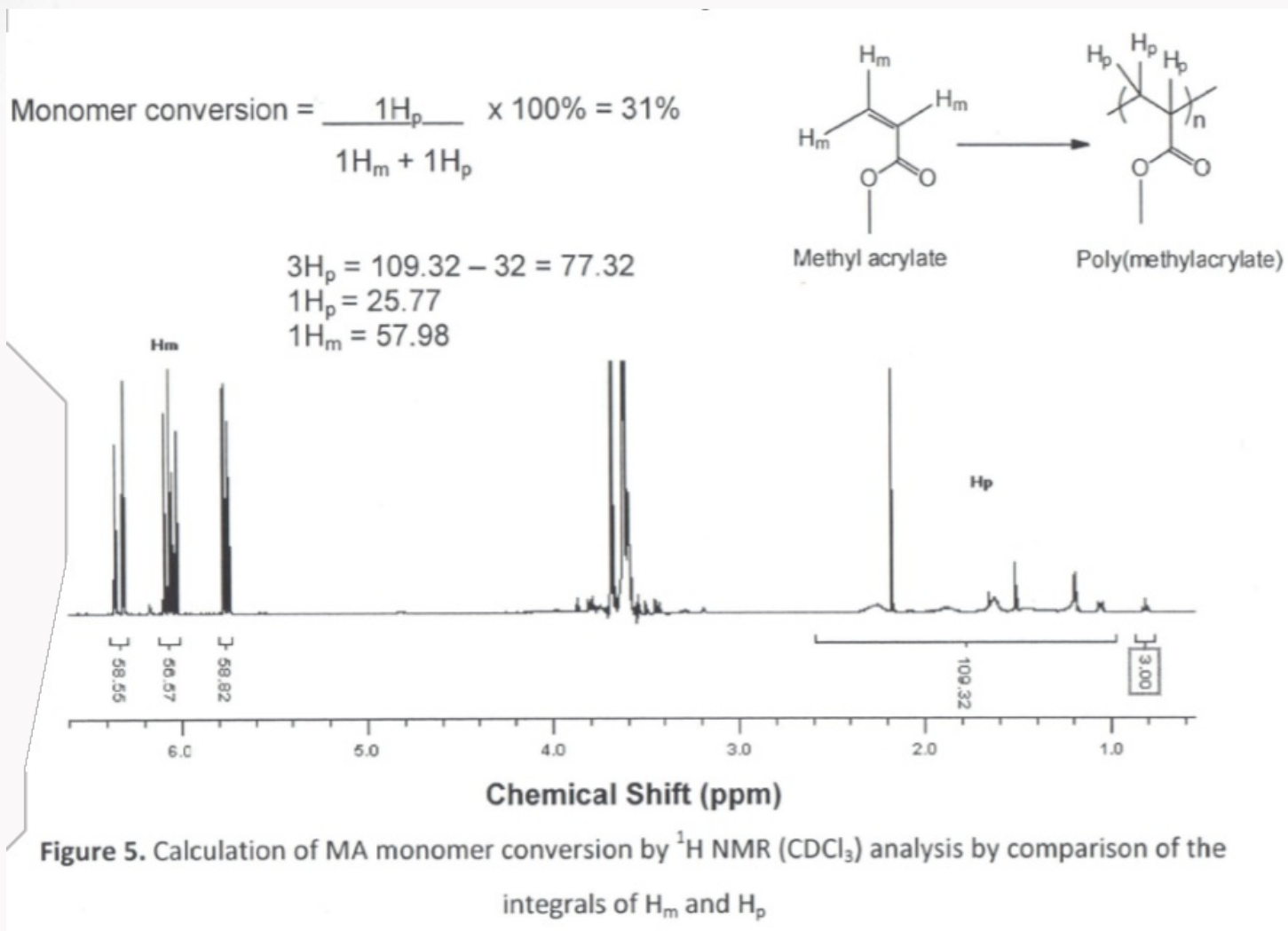
化学位移

弛豫时间

耦合常数

III. 一维NMR在高分子研究中的应用

一、聚合反应转化率的测定



聚丙烯酸甲酯产率的测定

From: [NMR Spectroscopy for polymer chemists – ResearchGate](#)

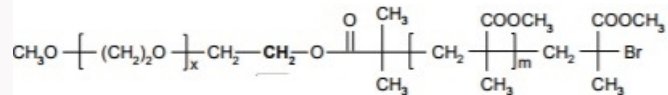
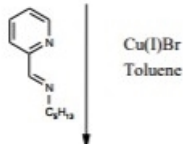
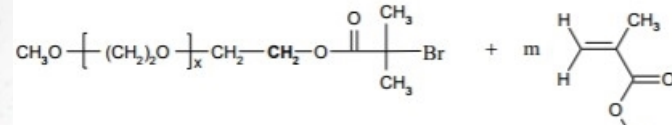
原理

用单体的烯氢 (H_m) 作为单体的特征峰，用链上的烷基氢 (H_p) 作为聚合物的特征峰，归一化后，计算积分的比值 $1\text{H}_p / (1\text{H}_m + 1\text{H}_p)$ 即可得到反应的转化率。

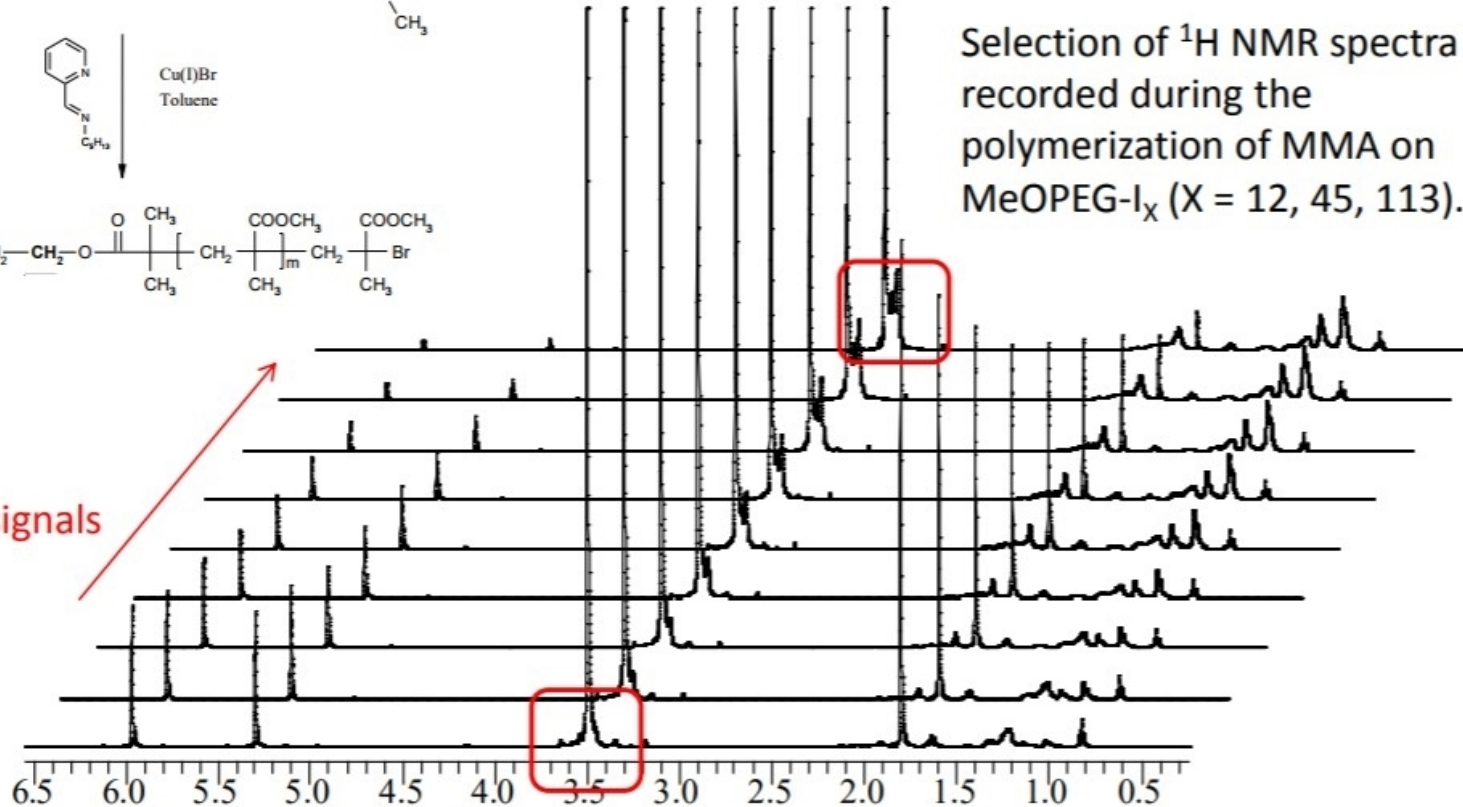
一、聚合反应转化率的测定

ATRP

Conversion by ^1H NMR



Alkene signals



Selection of ^1H NMR spectra recorded during the polymerization of MMA on MeOPEG- I_x ($X = 12, 45, 113$).

- 聚合反应的监测
- 可用于动力学研究

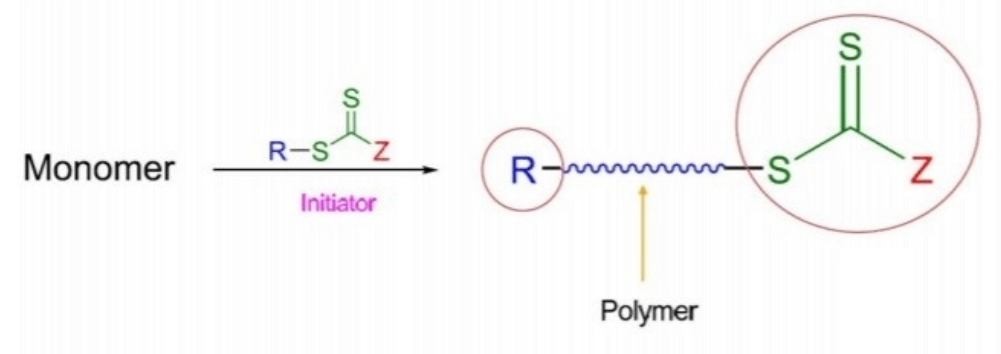
Compare integration of monomer and polymer signals and work out conversion...

二、聚合物端基表征

应用条件:

- 聚合部分的出峰不与端基的出峰重叠
- 端基的峰是清晰可辩的
- 端基峰的积分是可信的
- 通常而言，只适合于分子量M_n小于30000 Da的情况

The RAFT Process

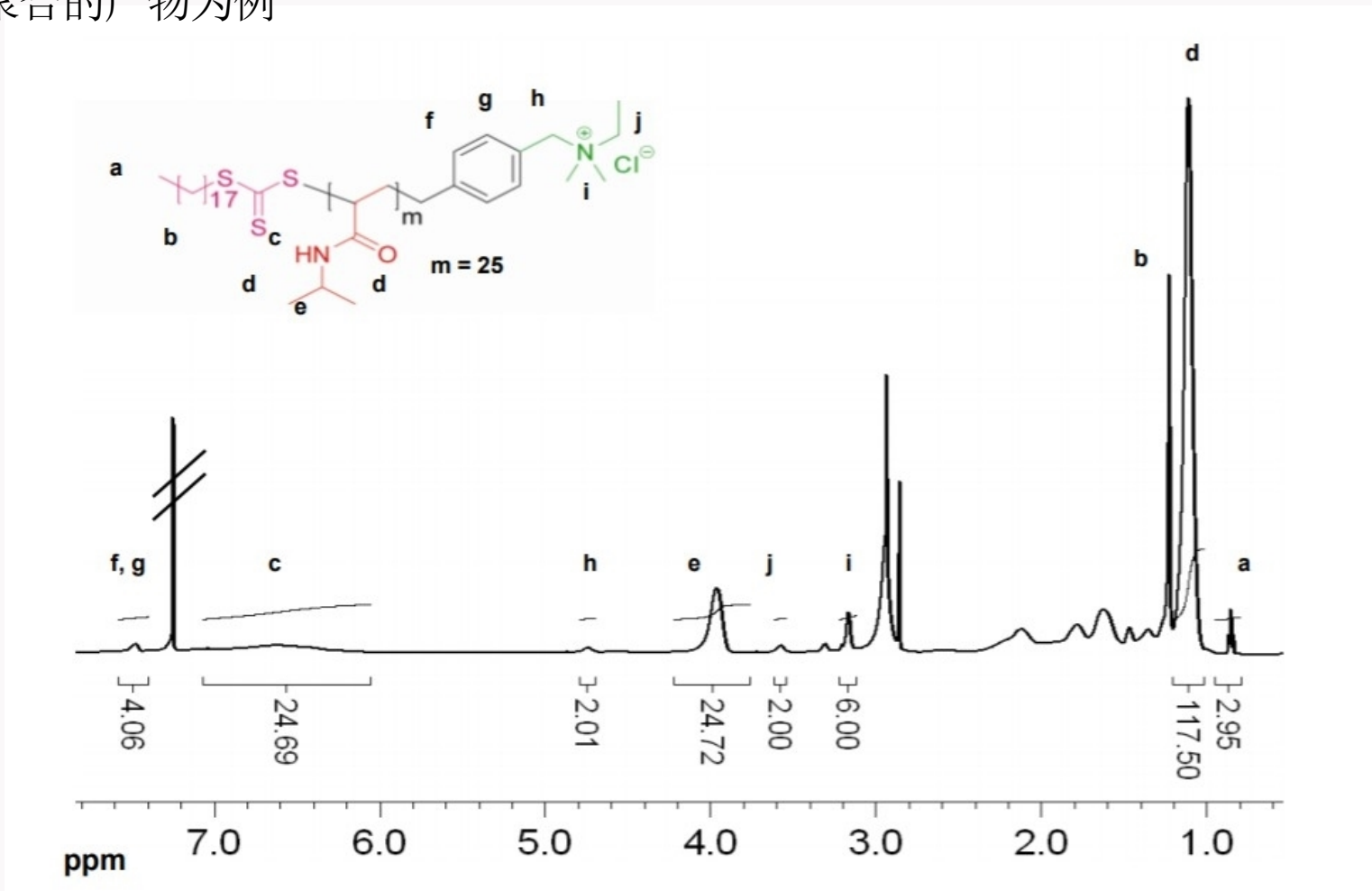


1) Pach M, et al, J. Am. Chem. Soc. 2010, 132, 8757

2) Godula K, et al, Angew. Chem., Int. Ed. Engl. 2009, 48, 4973

二、聚合物端基表征

以RAFT聚合的产物为例



- 端基分析对于研究高分子的修饰十分重要

1) Pach M, et al, J. Am. Chem. Soc. 2010, 132, 8757

2) Godula K, et al, Angew. Chem., Int. Ed. Engl. 2009, 48, 4973

以上内容仅为本文档的试下载部分，为可阅读页数的一半内容。如要下载或阅读全文，请访问：

<https://d.book118.com/078052074125006055>